

УДК 539.736.14...669.849

## ЛОКАЛИЗАЦІЯ АТОМОВ УГЛЕРОДА В КРИСТАЛЛИЧЕСКОЙ РЕШЕТКЕ НІКЕЛЯ

**В.М. Шершинев, Н.А. Скаакун, П.А. Светашов**

Національний науковий центр «Харківський фізико-технічний інститут»,  
 ул. Академіческа, 1, Харків, 61108  
 Поступила в редакцію 10 июня 2004 г.

С помошью резонансной ядерной реакции  $^{13}\text{C}(\text{p}, \gamma)^{14}\text{N}$  ( $E_{\text{рез}} = 1,7476$  МэВ,  $\Gamma_\gamma = 70$  эВ), которая возбуждалась протонами, канализированными вдоль плотноупакованных атомами никеля осей  $<110>$ ,  $<100>$  и  $<111>$  и плоскости (100), определялось местоположение углерода в монокристаллическом растворе Ni – 0,18 ат.%С, обогащенном изотопом  $^{13}\text{C}$ . В узком интервале углов ( $\pm 0,4^\circ$ ), по мере совмещения направления импульса пучка протонов и выделенного кристаллографического направления, наблюдалось сильное изменение выхода  $\gamma$ -квантов из реакции. Показано, что атомы углерода в никеле, при концентрации 0,18 ат.% и комнатной температуре, занимают октаэдрические междуузлия.

**КЛЮЧЕВЫЕ СЛОВА:** канализование, ядерная реакция, ядерный резонанс, местоположение примеси.

Металлы и сплавы в относительно больших количествах растворяют газообразующие примесные элементы – водород, азот, кислород, а также углерод. Эти элементы часто образуют твердые растворы внедрения, оказывают существенное влияние на физические свойства металлов и, в частности, на радиационное нарушение конструкций, которые работают в полях сильных излучений.

Атомы внедрения в кристаллической решетке занимают определенные энергетически выгодные позиции. Наиболее выраженным в металлах с ГЦК решеткой позициями, которые могут занимать атомы внедрения, являются октаэдрические и тетраэдрические пустоты. В процессе облучения металла атомы внедрения могут захватывать смещенные из узлов решетки собственные атомы или вакансии, что приводит к образованию простейших дефектов. На рис.1 показаны некоторые из таких дефектов, которые могут образовываться в металлах с ОЦК решеткой в зависимости от условий облучения и отжига. В результате такого захвата и образо-

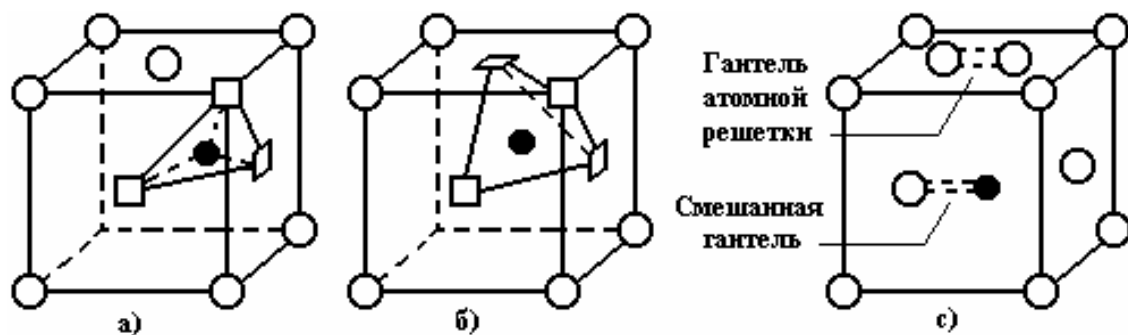


Рис.1 Точечные дефекты в кристаллах  
 а) тривакансия – примесный атом (•); б) тетравакансия – примесный атом; в) конфигурации типа гантель.

вания дефектов атомы внедрения с неизбежностью смещаются из равновесных позиций. Ядерно-физические методы в сочетании с использованием канализированных частиц и ориентационных эффектов позволяют получить сведения о смещении примесного атома, с точностью до  $0,1 \text{ \AA}$  [1] из положения, которое он занимал до радиационного нарушения кристалла, идентифицировать образующийся дефект, установить его пространственную конфигурацию и геометрию, исследовать распад и аннигиляцию этого дефекта [2].

Однако для идентификации радиационного дефекта с участием примесного атома внедрения необходимо иметь надежные сведения о местоположении примесного атома в ячейке решетки металла до его облучения. В настоящее время экспериментальные данные о местоположении углерода в никеле отсутствуют. Поэтому, прежде чем приступить к исследованию влияния радиационных дефектов на расположение атомов в решетке, необходимо выполнить измерения и получить надежные данные о локализации углерода в кристаллической решетке.

Данные о локализации примесных атомов внедрения также необходимы для изучения особенностей выхода излучений ядерных реакций, которые возбуждаются канализированными частицами в кристаллах и, в частности, для исследования перераспределения потока положительно заряженных частиц в канале [3].

## МЕТОДИКА ПРОВЕДЕНИЯ ЭКСПЕРИМЕНТА

Применялись образцы монокристаллического никеля с высоким относительным электрическим сопротивлением. Электроискровым способом перпендикулярно кристаллографическим направлениям  $<110>$ ,  $<111>$  и  $<100>$  вырезали диски размером  $\varnothing 6$  мм и толщиной 1,5 мм. Механическую шлифовку и полировку поверхности дисков проводили с целью удаления нарушенного и деформированного слоев. Последующее электрохимическое травление позволяло устраниить остатки нарушенного слоя. Разориентация элементов структуры кристаллов не превышала  $0,0028^\circ$ .

Методом термодиффузии из твердой фазы в вакууме и последующего закаливания в атмосфере очищенного гелия образцы насыщались углеродом, обогащенным изотопом  $^{13}\text{C}$  до концентраций 0,18 ат.%, что значительно ниже предела растворимости углерода в никеле [4]. Перед насыщением образцы отжигались и обезжиривались, после насыщения подвергались дополнительной электрополировке и тщательно промывались в деионизованной воде. В результате этих операций они имели зеркальную поверхность.

Изготовленные образцы крепили на гониометрической головке в камере ядерных реакций. Гониометр позволял вращать кристалл относительно трех взаимно перпендикулярных осей и производить угловое сканирование осей и плоскостей с шагом  $0,05^\circ$ .

Определение позиций, которые занимают атомы изотопа  $^{13}\text{C}$  в никеле, осуществлялось с помощью пучка протонов с энергией 1,758 МэВ и угловой расходимостью не хуже  $0,03^\circ$ . Измеряли зависимость выхода  $\gamma$ -квантов реакции  $^{13}\text{C}(\text{p}, \gamma)^{14}\text{N}$  от угла при сканировании в окрестности плотноупакованных атомами цепочек  $<110>$ ,  $<100>$  и  $<111>$  и атомных плоскостей (111) и (100) [3].

Использовался сильный изолированный резонанс реакции ( $E_{\text{рез}} = 1,7476$  МэВ,  $\sigma_{\text{рез}} = 300$  мбарн,  $\Gamma_\gamma = 70$  эВ [5]). При определении позиций атомов изотопа  $^{13}\text{C}$  в никеле одновременно измерялась зависимость выхода упруго рассеянных на ядрах никеля протонов и  $\gamma$ -квантов из реакции  $^{13}\text{C}(\text{p}, \gamma)^{14}\text{N}$  от угла между направлением импульса пучка и выбранным кристаллографическим направлением. Выходы рассеянных протонов и  $\gamma$ -квантов нормировали к результатам измерений выходов при полной разориентации кристалла относительно пучка протонов.

## РЕЗУЛЬТАТЫ И ОБСУЖДЕНИЕ

На рис.2 показана экспериментальная зависимость выхода  $\gamma$ -квантов из реакции  $^{13}\text{C}(\text{p}, \gamma)^{14}\text{N}$  при энергиях протонов от  $E_{\text{рез}} = 1,7476$  МэВ и выше. Постоянство выхода  $\gamma$ -квантов от энергии для кривой (o) показывает, что в пределах интервала энергии, представленном на рис.1, возбуждается только один резонанс, и атомы внедрения расположены в кристалле гомогенно. Увеличение выхода  $\gamma$ -квантов из реакции более чем в два с половиной раза при энергии протонов выше резонансного значения, кривая (●), свидетельствует о том, что атомы углерода в кристалле никеля являются примесью внедрения.



Рис.2. Зависимость выхода  $\gamma$ -квантов от энергии протонов.

(●) – направление импульса пучка совпадает с осью  $<110>$ .

(○) – пучок разориентирован относительно плотноупакованных кристаллографических направлений.

При канализировании протонов вдоль кристаллографических направлений вблизи к поверхности кристалла происходит динамическое перераспределение плотности потока частиц в поперечной плоскости канала [6]. Статистическое равновесие потока наступает на глубинах, превышающих (1500 – 2000 Å) от поверхности

кристалла [7]. Поэтому угловое сканирование в окрестности кристаллографических осей и плоскостей, измерение при этом выхода  $\gamma$ -квантов и определение местоположения атомов углерода в никеле осуществляли при энергии протонов 1,758 МэВ.

Результаты измерений угловой зависимости выхода  $\gamma$ -квантов и рассеянных протонов показаны на рис. 3. Выход рассеянных на ядрах никеля протонов при совпадении направления импульса пучка ( $\phi_{bx} = 0$ ) и наиболее плотно упакованных атомами никеля цепочек  $<110>$  составил всего 4% от нормированного выхода, что свидетельствует о высоком качестве использовавшихся кристаллов и удовлетворительной подготовке образцов.

По мере совмещения направления импульса пучка с каждой из указанных на рис.3 осью или плоскостью выход  $\gamma$ -квантов существенно изменялся. Это объясняется, во-первых, специфическим расположением атомов  $^{13}\text{C}$  в решетке никеля, во-вторых, сильной угловой зависимостью перераспределения плотности потока протонов, которые канализируют в пределах выделенного направления. На рис.3 приведены вставки, на которых показаны проекции атомов никеля (о – цепочки, — – плоскости), а также проекции октаэдрических (□) и тетраэдрических (■) междуузлий на плоскость, нормальную к соответствующему осевому или плоскостному направлению. Появление сильного пика при совмещении направления пучка протонов с осью  $<110>$  свидетельствует о том, что углерод в никеле при концентрациях, меньших предела растворимости, является примесью внедрения, которая размещается в середине канала, т.е. в одном из обозначенных на рис.3 (ось  $<110>$ ) междуузлий.

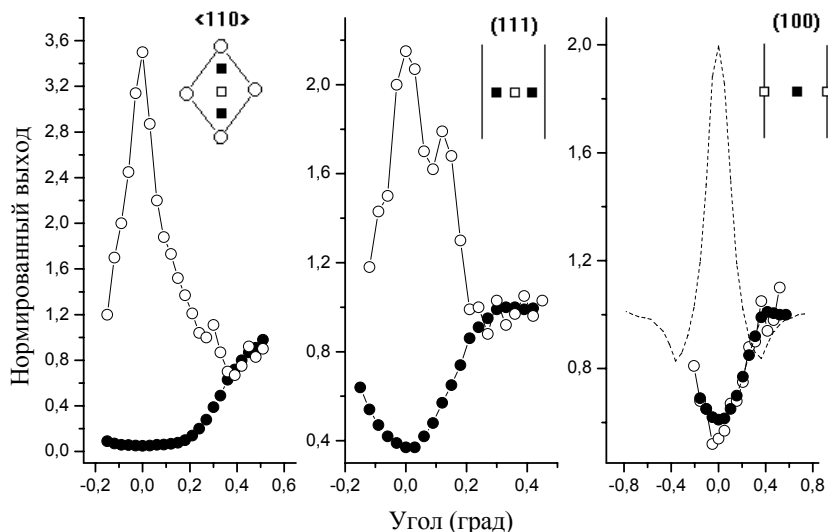


Рис.3. Экспериментальные угловые зависимости выхода  $\gamma$ -квантов (о) и рассеянных протонов (●). Компьютерное моделирование выхода  $\gamma$ -квантов (---).

Для плоскости (100) угловая зависимость выхода  $\gamma$ -квантов из реакции близка к угловой зависимости выхода упруго рассеянных протонов. Это свидетельствует о размещении атомов углерода в окта-междоузлиях, так как проекции атомов углерода находятся в плоскостях (100) атомов никеля. Действительно, если бы углерод размещался в тетра-междоузлиях (■), в угловой зависимости выхода  $\gamma$ -квантов, согласно вставке к этой плоскости, с неизбежностью в эксперименте наблюдался бы пик (пунктирная линия), так как тетра-междоузлия образуют плоскость, которая размещается в центре канала.

Таким образом, совпадение выходов  $\gamma$ -квантов реакции и рассеянных протонов при угловом сканировании вблизи плоскости (100) показывает, что в твердом растворе Ni – 0,18 ат.%С основная доля атомов углерода занимают октаэдрические пустоты.

## ВЫВОДЫ

Упруго рассеянные на ядрах никеля протоны и резонансная ядерная реакция  $^{13}\text{C}(p, \gamma)^{14}\text{N}$  применялись для определения местоположения атомов углерода в растворе Ni – 0,18 ат.%С. Экспериментально определена зависимость выхода рассеянных протонов и  $\gamma$ -квантов из реакции при канализации протонов вблизи плотно упакованных атомами никеля осевых и плоскостных кристаллографических направлений. Результаты настоящих измерений – необходимые исходные данные для идентификации и изучения свойств простейших дефектов, которые образуют смешенные из узлов атомы матрицы, примесные атомы и вакансии при облучении таких растворов нейтронами и/или заряженными частицами.

Впервые экспериментально, прямым методом показано, что атомы углерода при концентрации 0,18 ат.% С и комнатной температуре в монокристаллическом никеле занимают октаэдрические междуузлия.

Результаты настоящей работы использовались для изучения особенностей канализования протонов в приповерхностной зоне кристалла. Смотри статью “Компьютерное моделирование канализования протонов в кристаллах” в этом номере журнала.

#### СПИСОК ЛИТЕРАТУРЫ

1. A. Dygo, P.J.M. Smulders and D.O. Boerma. Simulation analysis of ion channeling spectra: thermal vibrational amplitude in Si. //Nucl. Instr. and Meth. B64. -1992. -P.701-705.
2. M.L. Swenson. The study of lattice defects by channeling. //Rep. Prog. Phys. -1982. -V.45. -P.47-83.
3. Н.А. Скаюн, В.М. Шершнєв. Применение методов ядерной физики и ускорителей ННЦ ХФТИ для изучения состава, структуры и свойств твердых тел. //ВАНТ. Серия: физика радиационных повреждений и радиационное материаловедение. -2003. -Вып.№6(84) -C.3-15.
4. Е.Фромм, Е.Гебхард. Газы и углерод в металлах 1980, М.: Металлургия. -С.593.
5. A.Anttila, M.Bister, A.Fontell, K.B.Winterbon Ranges of some light ions measured by (p, γ) resonance broadening. //Rad. Eff. -1977. -V.33. -P.13-19.
6. L.C.Feldman, J.W.Mayer, S.T.Picraux. Materials Analysis by Ion Channeling 1982, Academic, New York. -P.61.
7. John H. Barrett. Potential and stopping-power information from planar - channeling oscillations. //Phys.Rev.-1979. -V.20. -№9. -P.3535-3542.

#### LOCALIZATION OF CARBON ATOMS IN A CRYSTAL LATTICE OF NICKEL

V.M. Shershnev, N.A. Skakun, P.A. Svetashov

National Science Center “Kharkov Institute of Physics and Technology”,  
1 Akademicheskaya St., Kharkov 61108, Ukraine  
e-mail: skakun@kipt.kharkov.ua

The carbon location in the monocrystal solution Ni – 0,18 at.%C enriched with the  $^{13}\text{C}$  isotope has been determined by the resonant nuclear reaction  $^{13}\text{C}(\text{p},\gamma)^{14}\text{N}$  ( $E_{\text{res}} = 1,7476$  MeV,  $\Gamma_\gamma = 70$  eV), excited with protons channeling along axes  $<110>$ ,  $<100>$  and  $<111>$  close-packed by the nickel atoms and along the plane (100). Strong changing in the  $\gamma$ -yield from the reaction has been observed in the narrow interval of angles ( $\pm 0,4^\circ$ ) between the proton beam direction and the crystallographic one. It has been shown that the carbon atoms occupy the octahedral voids in the nickel at concentration 0.18 at. % and at room temperature.

**KEY WORDS:** channeling, nuclear reaction, nuclear resonance, location of impurity.